

24. Васильев А. А., Одиноков С. Б., Парфенов А. В., Якимович А. П. Оптический операционный усилитель для обработки изображений // II Всесоюз. конф. по оптической обработке информации: Тез. докл.—Фрунзе: Илим, 1990.
25. А. с. 1444889 СССР. Бистабильное устройство для хранения и обработки изображений / В. Н. Дубчак, В. Г. Красиленко, Н. Г. Яцковская.—Опубл. 15.12.88, Бюл. № 46.
26. А. с. 1527670 СССР. Способ записи изображения / В. П. Кожемяко, В. А. Подорожнюк, С. Н. Белан и др.—Опубл. 07.12.89, Бюл. № 45.
27. Положительное решение на заявку 4498330/24. Устройство для обработки изображений / В. П. Кожемяко, В. Г. Красиленко, В. А. Подорожнюк и др.—Принято 19.04.89.
28. Радиоэлектроника за рубежом. Обзоры.—М.: НИИЭИР, 1989.—Вып. 6(38).
29. Баранов Ю. Л., Круглов И. И. Полупроводниковые приборы со структурой кремний на изоляторе: состояние и перспективы изготовления.—М.: ЦНИИ «Электроника», 1989.

Поступила в редакцию 18 сентября 1990 г.

УДК 681.327 : 681.7

А. А. Вербовецкий, И. А. Шилов

(Москва)

СХЕМОТЕХНИЧЕСКИЕ ВОПРОСЫ ПОСТРОЕНИЯ ВОЛОКОННО-ОПТИЧЕСКИХ СИСТЕМ МЕЖПРОЦЕССОРНОЙ СВЯЗИ И КОММУТАЦИИ ДЛЯ СУПЕРЭВМ

Предложены структурные, схемотехнические и конструктивные решения построения пассивных систем межпроцессорной связи и коммутации (СМСК) на основе волоконной оптики для суперЭВМ. Рассмотрены варианты как одноволновых систем, так и систем со спектральным уплотнением информации, предназначенных для коммутации большого числа центральных процессоров (ЦП) и запоминающих устройств (ЗУ). Произведена оценка основного параметра таких систем, которая, в частности, показывает, что СМСК со спектральным уплотнением информации может одновременно и независимо коммутировать по принципу «каждый с каждым» порядка 10^4 ЦП с 10^4 ЗУ при скорости передачи данных порядка 1000 Мбит/с. Приведена конструкция построения компактной одноволновой СМСК.

Введение. Связь и коммутация — области оптоэлектроники, которые наиболее перспективны и близки к внедрению в суперЭВМ, так как их реализация в наименьшей степени требует новых технологий. В частности, обе эти области почти полностью могут быть обеспечены современным уровнем технологий оптических волокон, излучателей, приемников, а также существующей микроэлектронной технологией.

Действительно, уже в настоящее время в современных ЭВМ протяженные внешние связи выполняются в основном волоконно-оптическими. Однако длина связи для ЭВМ является величиной относительной, и для суперЭВМ ее мерой может служить такт синхронизации. При такте ~ 1 нс связи длиной ~ 2 м (задержка ~ 10 нс) уже можно считать большими и рассматривать возможность применения оптики.

Еще одна предпосылка использования оптики при построении систем связи и коммутации (ССК) внутри ЭВМ — возможность создания высоко-плотного многоконтактного оптического разъема. Действительно, в настоящее время существуют определенные трудности в реализации электрического многоконтактного (~ 1000) СВЧ-разъема с высокой плотностью контактов $\sim 1\text{мм}^{-2}$ (современный уровень $\sim 0,1 \text{ мм}^{-2}$) для ячеек (модулей) ЭВМ.

Вопросам возможности построения волоконно-оптических многоканальных коммутаторов посвящен ряд работ [1—7]. Однако в большинстве из них для построения таких коммутаторов используются матрицы активных опто-

электронных переключателей, практическая реализация которых вызывает в настоящее время значительные трудности.

В данной работе предложены структурные, схемотехнические и конструктивные решения построения пассивных волоконно-оптических систем межпроцессорной связи и коммутации (СМСК), как одноволновых, так и со спектральным уплотнением информации, которые предназначены для работы в составе суперЭВМ для коммутации большого числа центральных процессоров (ЦП) с запоминающими устройствами (ЗУ) по принципу «каждый с каждым». Такая структура СМСК предназначена для использования в архитектурах многопроцессорных вычислительных комплексов (МВК) типа «Эльбрус», но может быть использована и в архитектурах типа MIMD.

Оптическая система пассивной связи с регенераторами. Предположим, что n ($n = 1, 2, 3, \dots, N$) центральных процессоров необходимо коммутировать с k ($k = 1, 2, 3, \dots, K$) запоминающими устройствами. При этом каждый ЦП может обращаться к любому одному, группе или ко всем K ЗУ одновременно. Кроме того, все N процессоров могут одновременно обратиться к одному, подгруппе или ко всей группе K запоминающих устройств.

Предположим, что во всех ЦП используются одинаковые группы излучателей (лазерных диодов — ЛД), работающие на одной и той же длине волны. При этом каждая группа содержит излучатели в количестве, равном числу p ($p = 1, 2, 3, \dots, s$, а s — максимальная разрядность передаваемого слова) разрядов передаваемого слова, а в каждом ЗУ располагаются группы фотоприемников в количестве, равном произведению числа разрядов слова p на число ЦП N , т. е. $p \times N$.

Оптическая схема пассивной одноволновой СМСК представлена на рис. 1 (где a и b — ортогональные проекции; 1 — центральные процессоры; 2 — группа излучателей; 3, 5, 7, 9 — группы световодов; 4, 8 — группы световодовых разветвителей; 6 — блоки регенераторов; 10 — матрица фотоприемников; 11 — запоминающие устройства). В этой схеме ЗУ разбиты на r групп по m устройств в каждой. Каждой r -й группе ЗУ соответствует блок регенераторов 6, содержащий n регенераторов, в которых сигнал восстанавливается и усиливается до требуемой величины.

К каждой r -й группе регенераторов подключаются по одному выходу от каждого разветвителя всех n ЦП. Каждый выход r -го блока регенераторов подключается через разветвитель 8 ко всем m ЗУ соответствующей r -й группы.

Оценим общее количество ЗУ, которое может коммутировать данная схема, из энергетических соображений, полагая, что $P_{\text{л}} = P_{\text{пр}}$ и $r = m$, где $P_{\text{л}}$ — световая мощность лазерного диода; $P_{\text{пр}}$ — световая мощность на выходе регенератора. Тогда

$$K = [P_{\text{л}}(1 - \rho_0)(1 - \rho_1)^v \times \\ \times (1 - \rho_2)/P_0 f \mu]^2, \quad (1)$$

где ρ_0 — потери при вводе излучения ЛД в волокно; ρ_1 — потери в каждом оптическом разъеме; v — число разъемов в одном каскаде; ρ_2 — потери в разветвителе и волокне; P_0 — минимальная мощность на входе фотоприемника, обеспечивающая достаточно низкий коэффициент ошибок [$\text{nBt}/(\text{Мбит}/\text{с})$]; f — скорость передачи информации [$\text{Мбит}/\text{с}$]; μ — системный запас по мощности.

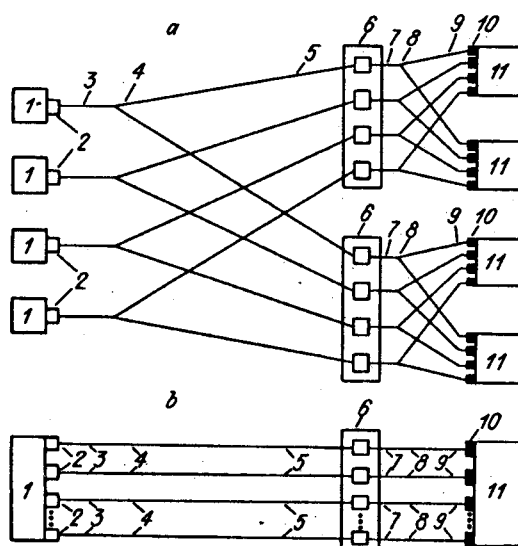


Рис. 1

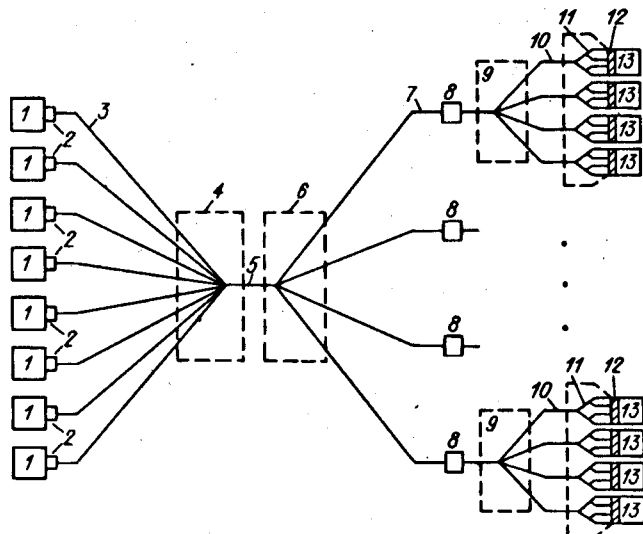


Рис. 2

Полагая $P_{\text{л}} = 1 \text{ мВт}$; $\rho_0 = 0,5$; $\rho_1 = 0,2$; $\nu = 2$; $\rho_2 = 0,1$; $P_0 = 10 \text{ нВт}/(\text{Мбит}/\text{с})$; $f = 10^3 \text{ Мбит}/\text{с}$; $\mu = 10$, получим $K \approx 700$.

Таким образом, данная схема позволяет коммутировать до 700 ЦП с 700 ЗУ при скорости передачи данных порядка 1000 Мбит/с.

Оптические системы пассивной связи со спектральным уплотнением. Оптическая схема СМСК со спектральным уплотнением представлена на рис. 2, где 1 — центральные процессоры; 2 — группы спектральных излучателей; 3, 7, 10 — группы световодов; 4 — группы световодных мультиплексоров; 5 — группа спектральных смесителей; 6, 9 — группа световодных демультиплексоров; 8 — группы регенераторов; 11 — группы спектральных демультиплексоров; 12 — матрица фотоприемников; 13 — запоминающее устройство. В отличие от предыдущей схемы (см. рис. 1) в данной схеме n -я группа излучателей 2 передает информацию на длине волны λ_n оптического сигнала, отличающейся от длине волн оптических сигналов, на которых передается информация остальными ($n - 1$)-ми процессорами.

Оптические сигналы одноименных p -х разрядов всех n информационных слов объединяются световодным мультиплексором 4 в единый n -цветный сигнал. Спектральные компоненты этого n -цветного оптического сигнала перемешиваются в спектральном смесителе 5 и световодным демультиплексором 6 размножаются на число r (где $r = 2, 3, 4, \dots, K/2$) групп регенераторов 8.

Многоцветный оптический сигнал от каждого r -го регенератора группы 8 поступает на r -й световодный демультиплексор группы 9, который размножает его на число q (где $q = 2, 3, 4, \dots, (K - 1)$) ЗУ в r -й подгруппе устройств 13. С каждого q -го выхода каждого r -го демультиплексора 9 многоцветный оптический сигнал поступает на q -й спектральный демультиплексор 11 r -й группы ЗУ 13. Этот демультиплексор группы 11 направляет каждую n -ю спектральную составляющую многоцветного светового пучка на p -й фотоприемник n -й группы (линейки) матрицы 12 фотоприемников q -го запоминающего устройства r -й подгруппы ЗУ 13.

Данная схема СМСК по сравнению со схемой, представленной на рис. 1, может коммутировать примерно то же максимальное число устройств, однако содержит меньшее количество связей и разъемов и поэтому может быть практически выполнена более компактной и надежной.

Существенно увеличить количество коммутируемых устройств позволяет схема СМСК, изображенная на рис. 3, где 1 — центральные процессоры; 2 — группы спектральных излучателей; 3 — блоки групп спектральных излучателей; 4, 8, 11, 14 — группы световодов; 5 — группы световодных мультиплексоров; 6 — группы спектральных смесителей; 7, 10, 13 — группы световодных

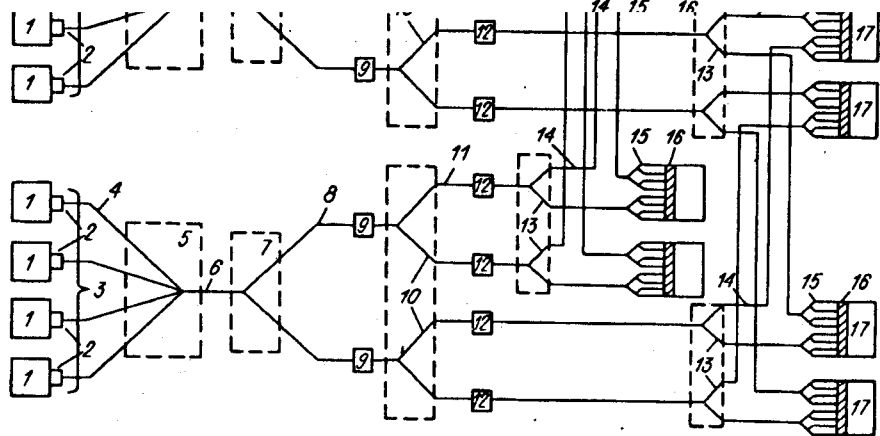


Рис. 3

демультиплексоров; 9, 12 — группы регенераторов; 15 — группы спектральных демультиплексоров; 16 — матрицы фотоприемников; 17 — запоминающие устройства.

В этой схеме все ЦП 1 разбиты на m (где $m = 1, 2, 3, \dots, M$) блоков 3, каждый из которых содержит по n процессоров. При этом n -я группа 2 излучателей каждого m -го блока передает информацию оптическими сигналами на длине волны λ_n , отличающейся от длии волн оптических сигналов, на которых передается информация остальными ($n - 1$)-ми процессорами 1 каждого блока 3. В каждом ЗУ 17 располагается матрица фотоприемников 16, содержащая $(N + M)$ групп (линеек) фотоприемников по p фотоприемников в каждой, т. е. всего $p \times (N + M)$ фотоприемников. Данная схема СМСК (см. рис. 3) может увеличить число коммутируемых устройств в M раз. Так, если $M = 10$, то число коммутируемых устройств может приближаться к 10^4 ЦП и 10^4 ЗУ при скорости передачи данных 1000 Мбит/с.

Оптическая система одноволновой многоканальной связи. Схема такой системы показана на рис. 4 (1—1 ... 1— n — блоки лазерных излучателей; 2—1 ... 2— m — группы лазерных излучателей; 3—1 ... 3— m — входные электрические шины; 4—1 ... 4— n — блоки световодных разветвителей; 5—1 ... 5— m — группы световодных разветвителей; 6—1 ... 6—($m \times n \times r$) — группы световодов; 7—1 ... 7— K — матрицы фотоприемников; 8—1 ... 8— n — группы фотоприемников; 9—1 ... 9— n — выходные электрические шины; 12—1 ... 12— K — запоминающие устройства). От каждого n -го процессора 10 группы r электрических сигналов, отображающая информационное слово (возможно, с временным уплотнением), поступает на соответствующий n -й блок электрических шин 3—1 ... 3— m (где $m = 2, 3, 4, \dots, K/2$), который размножает каждый электрический сигнал на число сигналов, равное числу m групп 2—1 ... 2— m лазерных излучателей в n -м блоке. С каждой m -й шины 3 r электрических сигналов поступают на m -ю группу 2 лазерных излучателей, и при этом каждый r -й электрический сигнал поступает на соответствующий r -й лазерный излучатель.

Оптические сигналы от каждой m -й группы 2 лазерных излучателей n -го блока 1 поступают на соответствующий m -й световодный разветвитель 5 n -го блока 4, который размножает его на число оптических сигналов, равное числу r ($r = 2, 3, 4, \dots, K/2$) запоминающих устройств 12, с которыми устанавливает

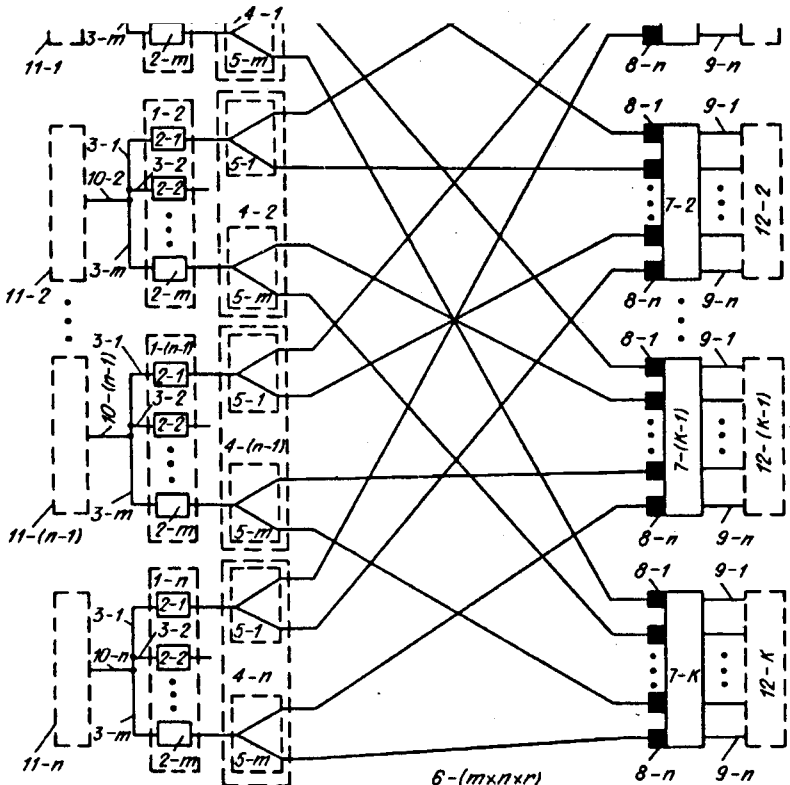


Рис. 4

связь данная группа 5 разветвителей. С группы r -х выходов каждого m -го разветвителя 5 n -го блока 4 по оптическим сигналам через соответствующую группу световодов 6 поступают на соответствующую n -ю группу 8 фотоприемников r -го блока 7, преобразующую оптические сигналы в электрические, которые и поступают в соответствующее запоминающее устройство 12.

Конструктивное выполнение оптической СМСК приведено на рис. 5. Эта конструкция показана для случая коммутирования одинакового количества центральных процессоров и запоминающих устройств. Коммутационные платы 15 и 16 располагаются вокруг цилиндрического световодного распределителя 14, чередуясь через одну. Стыковка плат 15 и 16 с цилиндром 14 осуществляется с помощью многоконтактных оптических разъемов, причем его наконечники на цилиндре 14 выполнены жесткими, а на платах — плавающими. Для повышения точностистыковки диски 13 в цилиндре 14 разбиты на группы, между которыми располагаются фиксирующие диски (без световодов), имеющие направля-

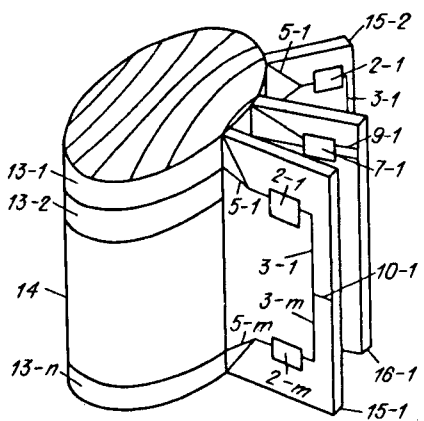


Рис. 5

ющие отверстия. Соответствующие этим группам группы плавающих наконечников на платах 15 и 16 снабжены направляющими штырями для предварительной фиксации на фиксирующих дисках. При этом распределитель 14 выполнен в виде набора одинаковых дисковых световодных распределителей 13, каждый последующий из которых повернут относительно предыдущего на одну позицию.

Для обеспечения прямой и обратной связей устройств 11 и 12 используются две описанные СМСК. При этом в первой СМСК входные шины 10-1 ... 10- n подключены к выходным шинам центральных процессоров 11-1 ... 11- n , а выходные шины 9-1 ... 9- nK соединены с входными шинами запоминающих устройств 12-1 ... 12- K . Входные шины 10-1 ... 10- n 2-й СМСК подключены к выходным шинам запоминающих устройств, а выходные шины 9-1 ... 9- nK соединены с соответствующими входными шинами центральных процессоров 11-1 ... 11- n . Следует отметить, что конструктивно обе СМСК могут быть объединены, т. е. могут быть использованы единые цилиндр 14 и платы 15 и 16.

Так, например, если СМСК предназначена для коммутирования 64 ЦП с 64 ЗУ, то практически цилиндрический световодный распределитель может состоять из 64 одинаковых дисковых световодных распределителей. Между каждой группой из 8 дисков, а также сверху и снизу цилиндра располагаются фиксирующие диски. В этом случае общие габаритные размеры системы вместе с пристыкованными коммутационными платами могут составить ~ 70 см в диаметре при высоте ~ 70 см.

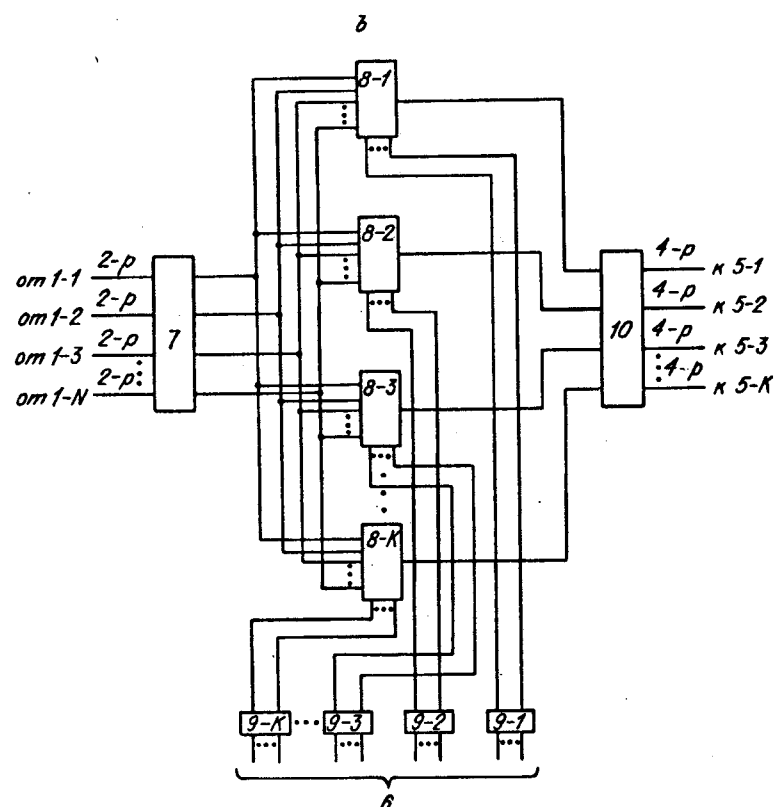
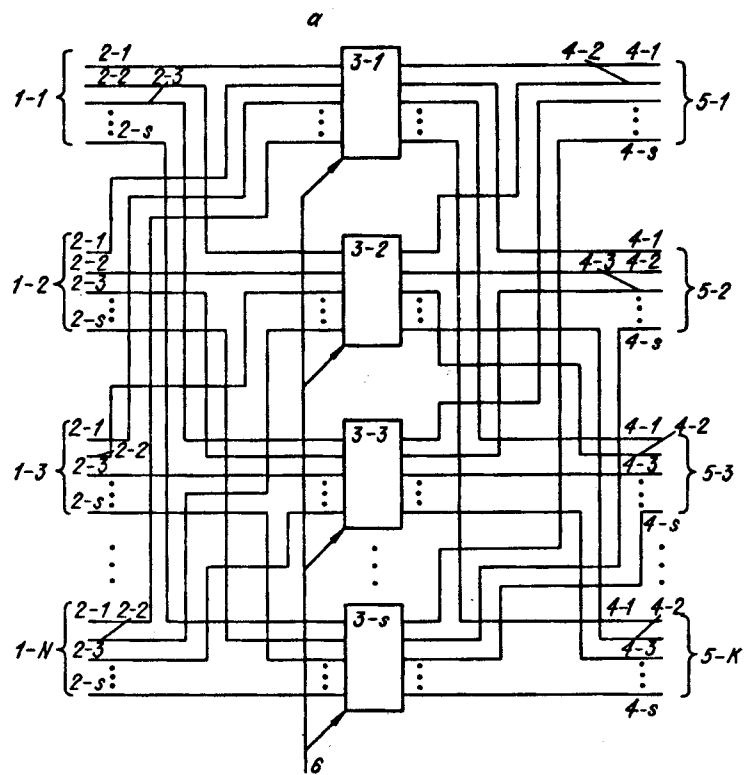
Таким образом, такая конструкция позволяет создать довольно компактную, надежную и удобную в эксплуатации СМСК для суперЭВМ.

Следует отметить, что если на цилиндрическом световодном распределителе разместить вместо световодов b разветвители 5, то можно существенно уменьшить количество необходимых дисков 13, разъемов на дисках и платах 15 и 16, а следовательно, и общие габариты системы, т. е. можно сделать систему более надежной и компактной.

Оптоэлектронная схема гибридной СМСК. Схема гибридной СМСК изображена на рис. 6, а. Так как в современных ЭВМ такт работы центрального процессора обычно не меньше 4 нс, а частота работы лазерных диодов может достигать 2 ГГц, то в СМСК целесообразно применять временное уплотнение информации. Предположим, что для передачи полноразрядного информационного слова между процессором и запоминающим устройством используют: ($r - 1$)-информационный световод + один световод для передачи синхросигналов (синхросветовод или световодная синхрошина) и один световод для передачи адреса k -го запоминающего устройства, с которым необходимо установить связь (адресный световод или световодная адресная шина 6). По информационным световодам передается информация (каждый такт без дополнительных временных интервалов), по световодной синхрошине — синхроимпульсы, а по световодной адресной шине — маркерный импульс (с необходимым упреждением). Маркерный импульс обозначает начало информационного блока, за которым следует r ($r = 2, 3, 4, \dots$) импульсов, отображающих адрес запоминающего устройства, в которое должен передаваться данный информационный блок слов.

Поэтому в данной оптоэлектронной СМСК каждый информационный канал состоит из r световодов, а всего на входе имеется $(r \times N)$ входных световодов + адресная шина, на выходе — $r \times K$ выходных световодов.

От каждого n -го процессора группа r оптических сигналов поступает на соответствующую n -ю группу входных световодов 1. При этом одноименные r -е оптические сигналы от всех n -х групп входов 1 следуют по соответствующим входным световодам 2 на одноименный один r -й оптоэлектронный коммутационный блок 3. На этот же блок поступают по адресной шине управляющие сигналы, в соответствии с которыми он коммутирует входные информационные сигналы. При этом одни и те же управляющие сигналы поступают на все коммутационные блоки 3, так как все разряды каждого слова



Puc. 6

должны коммутироваться одинаково. Таким образом, одновременно на одноименных выходах всех коммутационных блоков появляются соответствующие разряды одного и того же информационного слова. Оптические сигналы, отображающие эти разряды, следуют по соответствующим выходным световодам 4, объединяются в единую группу, которая отображает на соответствующем k -м выходе 5 соответствующее информационное слово.

Схема оптоэлектронного коммутационного блока показана на рис. 6.

Конструктивно оптоэлектронный коммутатор монтируется на плате, а световоды 2 и 4 оконцованны многоконтактными оптическими наконечниками для стыковки на соответствующих входах 1 и 5 с внешними схемами и внешними волоконно-оптическими кабелями межпроцессорной связи.

Обратная передача информации из запоминающих устройств в центральные процессоры производится по второму каналу, который работает аналогично первому, описанному выше, но в обратном направлении. Конструктивно оба канала могут быть выполнены на одной плате.

Следует отметить, что в данной схеме переключение устройств осуществляется электронными элементами, которые и будут ограничивать быстродействие и максимальное число коммутируемых устройств. Однако из рассмотренных в данной работе систем СМСК эта система наиболее близка к реализации.

Заключение. В данной работе рассмотрены структурные, схемотехнические и конструктивные варианты построения систем межпроцессорной связи и коммутации для суперЭВМ на основе волоконной оптики. Произведена оценка основного параметра этих систем, которая показывает, что СМСК со спектральным уплотнением может одновременно коммутировать до 10^4 процессоров с 10^4 запоминающими устройствами по принципу «каждый с каждым» при скорости передачи данных ~ 1000 Мбит/с. В зависимости от назначения, технических требований к СМСК суперЭВМ, а также имеющейся компонентной базы для ее реализации может быть выбрана наиболее подходящая схема СМСК из предложенных в данной работе.

СПИСОК ЛИТЕРАТУРЫ

1. Degan J. J., Luderer W. R., Valdya A. K. Fast packet technology for future switches // AT&T Techn. J.—1989.—N 2.
2. Goodman M. S. Multiwavelength networks and new approaches to packet switching // IEEE Commun. Mag.—1989.—N 10.
3. Kobienski H., Cheung K. Wavelength-tunable optical filters: applications and technologies // Ibid.
4. Arthurs E., Cooper J. M., Goodman M. S. et al. Multiwavelength optical crossconnect for parallel-processing computers // Electron. Lett.—1988.—28, N 2.
5. Kamionow I. P. Non-coherent photonic frequency-multiplexed access networks // IEEE Network.—1989.—3, N 2.
6. Lea C. Crossover minimization in directional-coupled-based photonic switching systems // IEEE Trans. Commun.—1988.—36, N 3.
7. Вербовецкий А. А. Принципы создания и схемотехнические вопросы построения интегрально-оптических многоканальных ассоциативных корреляторов для вычислительных систем // Автометрия.—1991.—№ 5.

Поступила в редакцию 11 июля 1991 г.